

МИНИСТЕРСТВО ОБРАЗОВАНИЯ И НАУКИ
РОССИЙСКОЙ ФЕДЕРАЦИИ
Федеральное государственное автономное образовательное
учреждение высшего профессионального образования
Санкт-Петербургский государственный университет аэрокосмического
приборостроения

М. Р. Гильмутдинов, А. М. Тюрликов, Е. М. Линский

ЦИФРОВАЯ ОБРАБОТКА ИЗОБРАЖЕНИЙ

СТАТИСТИЧЕСКИЙ АНАЛИЗ И КВАНТОВАНИЕ
ВИЗУАЛЬНЫХ ДАННЫХ

Учебное пособие

Санкт-Петербург
2013

УДК 621.397

ББК 30

Г47

Рецензенты:

доктор технических наук, профессор кафедры вычислительной
техники СПб НИУ ИТМО *А. Ю. Тропченко*;

доктор технических наук, профессор кафедры информатики и
информационной безопасности ПГУПС *П. В. МIRONЧИКОВ*

Утверждено

редакционно-издательским советом университета
в качестве учебного пособия

Гильмутдинов, М. Р.

Г47 Цифровая обработка изображений. Статистический анализ и квантование визуальных данных: учебное пособие / М. Р. Гильмутдинов, А. М. Тюрликов, Е. М. Линский; СПб.: ГУАП, 2013. 41 с.

ISBN 978-5-8088-0864-5

Учебное пособие подготовлено кафедрой инфокоммуникационных систем Санкт-Петербургского государственного университета аэрокосмического приборостроения.

В учебном пособии рассматриваются методы статистической обработки и квантования визуальных данных. Рассмотрение теоретических вопросов сопровождается описанием исследований, в ходе которых обучающиеся на практике осваивают методы цифровой обработки визуальных данных. Учебное пособие может быть использовано студентами, обучающимися по направлениям 090900 “Информационная безопасность” и 210700 “Инфокоммуникационные технологии и системы связи”, а также для самостоятельной работы аспирантов.

УДК 621.397

ББК 30

ISBN 978-5-8088-0864-5

© Санкт-Петербургский
государственный университет
аэрокосмического приборостроения
© М. Р. Гильмутдинов,
А. М. Тюрликов,
Е. М. Линский, 2013

Введение

Различные методы цифровой обработки изображений используются в современных стандартах сжатия как неподвижных изображений, так и видеопоследовательностей. В настоящем учебном пособии рассматриваются методы статистической обработки и квантования визуальных данных. Для того чтобы обучающиеся могли применять полученные знания в практической работе, учебное пособие построено как описание двух логически связанных исследований. Каждому исследованию посвящен отдельный раздел учебного пособия. В начале каждого раздела формулируется цель исследования, затем приводятся теоретические сведения, описывается методика проведения исследования. В конце каждого исследования приведены списки обязательных и индивидуальных практических заданий. В качестве основного инструмента, который используется при выполнении практической части исследований, выступает язык программирования C.

Исследование №1

Статистический анализ цифровых изображений

Цель исследования: изучение способов представления изображений, ознакомление со структурой формата ВМР, анализ статистических свойств изображений, а также получение практических навыков обработки изображений.

1. Теоретические основы исследования

1.1. Основные определения

Изображение в цифровом виде представляется в виде прямоугольной матрицы, элементы которой называют *пикселями* (от английского *pix-el — picture element*). Пиксель может быть представлен одним или несколькими числовыми значениями, каждое из которых принадлежит логической структуре, называемой *компонентой*. В качестве примера можно рассматривать красную (*red*), зеленую (*green*) и синюю (*blue*) компоненты. Будем называть значение пикселя в компоненте A *интенсивностью* и обозначать $I_{y,x}^{(A)}$, где пара (y, x) указывает положение пикселя в изображении (y — номер строки, x — номер столбца).

В нескольких приведенных ниже заданиях требуется построить гистограммы частот для выборок, формируемых на основе данных компонент. Гистограмму следует формировать в виде двумерного графика, где на оси абсцисс отложены все возможные значения в компоненте от 0 до $2^L - 1$, где L определяет размер разрядной сетки. Над каждым значением на оси абсцисс изображается прямоугольник, высота которого пропорциональна частоте появления данного значения в компоненте. Все прямоугольники имеют одинаковую ширину.

1.2. Структура BMP-файла

В данном исследовании рассматриваются изображения, хранимые в наиболее распространенном формате RGB24 без сжатия. Файл в формате BMP имеет следующую структуру:

1. Заголовок.
2. Палитра — таблица цветов (отсутствует для RGB24).
3. Данные по пикселям.

Заголовок состоит из двух последовательно расположенных частей. В файле **Windows.h** содержится описание двух структур, относящихся к этим частям (здесь и далее примеры структур будут приведены на языке Си с ориентацией на MS Visual C).

```
typedef struct tagBITMAPFILEHEADER {  
    WORD    bfType;  
    DWORD    bfSize;  
    WORD    bfReserved1;  
    WORD    bfReserved2;  
    DWORD    bfOffBits;  
} BITMAPFILEHEADER, *PBITMAPFILEHEADER;
```

Поля структуры:

- **bfType** — описывает тип файла, всегда ASCII-код двух символов 'B' и 'M' (заглавные латинские буквы);
- **bfSize** — размер файла в байтах;
- **bfReserved1** — зарезервировано, должно быть 0;
- **bfReserved2** — зарезервировано, должно быть 0;
- **bfOffBits** — смещение в байтах от начала структуры BITMAPFILEHEADER до массива пикселей.

```
typedef struct tagBITMAPINFOHEADER{  
    DWORD    biSize;  
    LONG     biWidth;  
    LONG     biHeight;  
    WORD     biPlanes;  
    WORD     biBitCount;  
    DWORD    biCompression;  
    DWORD    biSizeImage;  
    LONG     biXPelsPerMeter;  
    LONG     biYPelsPerMeter;
```

```

    DWORD  biClrUsed;
    DWORD  biClrImportant;
} BITMAPINFOHEADER, *PBITMAPINFOHEADER;

```

Поля структуры:

- **biSize** — размер структуры в байтах;
- **biWidth** — ширина изображения в пикселях;
- **biHeight** — ширина изображения в пикселях. Если эта величина положительная, то строки изображения хранятся снизу вверх. Если высота отрицательна, то строки изображения идут сверху вниз;
- **biPlanes** — количество плоскостей изображения всегда должно быть 1;
- **biBitCount** — количество бит на пиксель. Для RGB24 это поле равно 24, таким образом, каждый пиксель описывается 8-ми битной интенсивностью красного, зеленого и синего;
- **biCompression** — тип сжатия, для RGB24 равно BI_RGB (нулевое значение);
- **biSizeImage** — размер изображения в байтах. Необязательное поле может быть равно нулю;
- **biXPelsPerMeter** — горизонтальное разрешение в пикселях на метр. Используется для указания физического размера изображения. Приложение, работающее с этим изображением, может использовать эту информацию при выводе на специфическое устройство отображения. Например, значение 2834 соответствует 72dpi — точкам на дюйм (Dots per Inch), что являлось стандартным разрешением экранов мониторов Apple Macintosh. Поле носит информативный характер и не является обязательным (значение этого поля, как правило, нулевое);
- **biYPelsPerMeter** — вертикальное разрешение в пикселях на метр (назначение этого поля аналогично **biXPelsPerMeter**);
- **biClrUsed** — размер палитры (равно 0 для RGB24);
- **biClrImportant** — число значимых элементов палитры. Равно 0 для RGB24. Вопросы работы с палитрой будут подробно рассмотрены в следующем исследовании.

За структурами по смещению, указанному в **biOffBits**, располагаются данные, относящиеся к пикселям изображения.

1.3. Особенности представления данных в формате Windows BMP

Здесь перечислено несколько важных особенностей представления данных в формате RGB24, характерных для операционной системы Windows:

- Данные представляются в виде одномерного массива, в котором значения, относящиеся к отдельным пикселям, записаны строка за строкой.
- Строки изображения могут идти как снизу вверх (наиболее частый случай), так и сверху вниз.
- Ширина строки *в байтах* должна быть выравнена по границе двойного слова (32 бита), т.е. должна быть кратна числу 4. При необходимости для выполнения этого условия в конце *каждой* строки добавляются дополнительные байты (от одного до трех), значения которых несущественны. В англоязычной литературе добавляемые байты называют *dummy bytes*.
- Каждый пиксел в формате RGB24 представляется тремя байтами. Первый содержит значение компоненты B , второй — G и третий — R .

1.4. Критерии эффективности обработки изображений

Под *обработкой* будем понимать применение к изображению некоторой процедуры *преобразования* пикселей. Примерами преобразования изображения могут служить методы фильтрации, масштабирования или сжатия. Иногда, например в задаче сжатия, для восстановления исходного изображения требуется дополнительное *обратное преобразование*. Преобразования могут быть *обратимыми* или *с потерями*. Очевидно, что при использовании обратимого преобразования по данным, полученным в результате преобразования, можно в точности восстановить исходное изображение. Для оценки искажений, вносимых при обработке с потерями, часто используют понятие *шума*, который как-бы был внесен в процессе применения цепочки «преобразование — обратное преобразование». Для определения количественных характеристик шума интенсивность пикселя исходного изображения на позиции (y, x) обозначим за $I_{y,x}^{(A)}$ (в строке y и в столбце x), а интенсивность пикселя восстановленного изображения на той же позиции обозначим за $\hat{I}_{y,x}^{(A)}$. Размеры изображения будем полагать равными W по ширине и H по

высоте. Тогда шумом на позиции (y, x) в компоненте A можно считать разность между исходным и восстановленным пикселем:

$$N_{y,x}^{(A)} = I_{y,x}^{(A)} - \hat{I}_{y,x}^{(A)}.$$

Наиболее простыми с вычислительной точки зрения критериями оценки искажений при обработке изображений с потерями являются сумма абсолютных значений разностей между исходными и восстановленными после обработки пикселями (*Sum of Absolute Differences* — *SAD*) и сумма квадратов разностей между исходными и восстановленными пикселями (*Sum of Squared Differences* — *SSD*):

$$SAD = \sum_{i=1}^H \sum_{j=1}^W |I_{i,j}^{(A)} - \hat{I}_{i,j}^{(A)}|; \quad (1.1)$$

$$SSD = \sum_{i=1}^H \sum_{j=1}^W (I_{i,j}^{(A)} - \hat{I}_{i,j}^{(A)})^2. \quad (1.2)$$

Вместо слова *разность* (*Difference*) иногда используют слово *ошибка* (*Error*).

Данные критерии часто используются для поиска и сравнения отдельных фрагментов изображения. Для сравнения изображений разной размерности или фрагментов изображений используют усредненные значения *SAD* (*Mean of Absolute Errors* — *MAE*) и *SSD* (*Mean of Squared Errors* — *MSE*):

$$MAE = \frac{1}{WH} \sum_{i=1}^H \sum_{j=1}^W |I_{i,j}^{(A)} - \hat{I}_{i,j}^{(A)}|; \quad (1.3)$$

$$MSE = \frac{1}{WH} \sum_{i=1}^H \sum_{j=1}^W (I_{i,j}^{(A)} - \hat{I}_{i,j}^{(A)})^2, \quad (1.4)$$

где W является шириной, а H — высотой фрагмента или изображения.

Более распространенным критерием оценки искажений, вносимых в изображение, является *пиковое отношение сигнал/шум* (*PSNR* — *peak signal-to-noise ratio*). Эта мера аналогична используемому при обработ-

ке звука *отношению сигнал/шум*, (SNR — *signal-to-noise ratio*):

$$SNR = 10 \lg \frac{E_S}{E_N} = 10 \lg \frac{\sum_{i=1}^H \sum_{j=1}^W (I_{i,j}^{(A)})^2}{\sum_{i=1}^H \sum_{j=1}^W (I_{i,j}^{(A)} - \hat{I}_{i,j}^{(A)})^2}, \quad (1.5)$$

где E_S определяет энергию исходного сигнала; E_N — энергию шума. Энергия дискретного по времени сигнала определяется как сумма квадратов всех его значений.

И для аудиоданных, и для изображений шум интерпретируется как несоответствие исходного и обработанного (восстановленного) сигнала, а энергия шума — как сумма квадратов разностей отсчетов исходного и обработанного сигналов, аналогично формуле (1.2). Отличие $PSNR$ от SNR заключается в том, что все значения исходного сигнала в числителе дроби заменяются на максимальное значение интенсивности пикселя в данной компоненте. Однако для упрощения вычислений максимальное значение сигнала, как правило, заменяют на максимально возможное значение, которое может принимать интенсивность пикселя. Таким образом, в используемой разрядной сетке L бит значение $PSNR$ вычисляется по следующей формуле:

$$PSNR = 10 \lg \frac{WH(2^L - 1)^2}{\sum_{i=1}^H \sum_{j=1}^W (I_{i,j}^{(A)} - \hat{I}_{i,j}^{(A)})^2}. \quad (1.6)$$

Более подробно о критериях оценки искажений можно узнать в работах [1], [2].

Эффективность сжатия для изображений обычно оценивается как среднее число бит, затрачиваемых на представление одного пикселя (Bits Per Pixel — BPP) изображения или одной из его компонент (когда учитываются интенсивности всех пикселей только в данной компоненте). Наиболее простым способом анализа эффективности сжатия является оценка энтропии при поэлементном независимом сжатии. В этом случае значения интенсивностей обрабатываемой компоненты интерпретируются как сообщения некоторого постоянного источника X (стационарного источника, на выходе которого сообщения независимы). Алфавит источника X формируется по всем возможным значениям

пикселей оцениваемой компоненты. Величина $\hat{p}(x)$ является оценкой вероятности сообщения x , которая вычисляется как

$$\hat{p}(x) = \frac{n_x}{n},$$

где n_x — количество пикселей в данной компоненте, которые имеют значение x , а n — общее число пикселей в компоненте. Тогда оценка энтропии при поэлементном независимом сжатии вычисляется по следующей формуле [3]:

$$\hat{H}(X) = - \sum_x \hat{p}(x) \log_2 \hat{p}(x). \quad (1.7)$$

1.5. Преобразование цветового пространства

В цветных фотореалистичных изображениях, представленных в формате RGB24, данные цветовых компонент на соответствующих позициях часто близки по значению (в этом случае говорят, что компоненты сильно коррелируют), поэтому с точки зрения сжатия формат RGB24 является заведомо избыточным. В стандартах телевизионного вещания, а также в серии стандартов сжатия JPEG используется другой формат представления изображений — YC_bC_r . В соответствии с форматом YC_bC_r изображение также представляется с помощью трех компонент, но эти компоненты меньше коррелируют друг с другом. Используя следующие формулы, компоненты R , G и B преобразуются в *яркостную* (Y) и две *цветоразностные* (C_b и C_r) компоненты [4], [1], [2], :

$$\begin{aligned} Y &= 0.299R + 0.587G + 0.114B; \\ C_b &= 0.5643(B - Y) + 128; \\ C_r &= 0.7132(R - Y) + 128. \end{aligned} \quad (1.8)$$

Обратное преобразование выполняется по формулам:

$$\begin{aligned} G &= Y - 0.714(C_r - 128) - 0.334(C_b - 128); \\ R &= Y + 1.402(C_r - 128); \\ B &= Y + 1.772(C_b - 128). \end{aligned} \quad (1.9)$$

Стоит отметить, что реализация прямого и обратного преобразования выполняется с использованием арифметического округления, т.е.

преобразование форматов в общем случае является необратимым. Более того, в результате обратного преобразования возможен выход восстановленных значений R , G , и B за границы исходного диапазона. В этом случае после восстановления необходимо выполнить операцию *клиппирования* (clipping) или *насыщения* (saturation):

$$\text{Sat}(x, x_{\min}, x_{\max}) = \begin{cases} x_{\min} & , \text{ если } x < x_{\min}; \\ x_{\max} & , \text{ если } x > x_{\max}; \\ x & , \text{ во всех иных случаях.} \end{cases} \quad (1.10)$$

Большая часть визуальной информации для формата YC_bC_r сосредоточена в яркостной компоненте Y . На практике очень часто к компонентам C_b и C_r применяется процедура *децимации* или *прореживания*, изображенная на рис. 1.1, в процессе которой часть отсчетов исключается из рассмотрения. Искажения в восстановленных после прореживания компонентах C_b и C_r , как правило, несущественны, так как они содержат небольшое количество визуальной информации (см. п.8 из подраздела 2.).

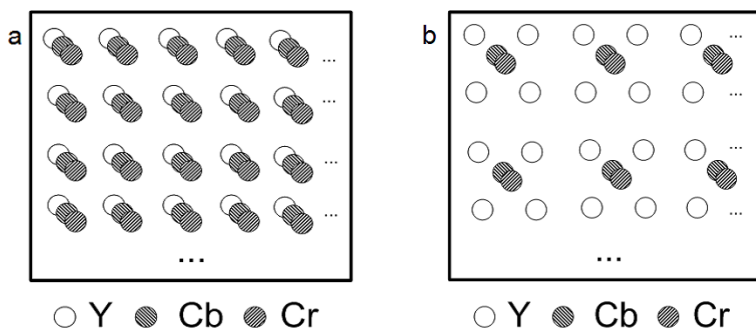


Рис. 1.1. Децимация компонент C_b и C_r , в соответствии с форматом 4:2:0 : а — Исходные данные; б — после децимации

Под децимацией в данном исследовании будет упоминаться прореживание в N раз по ширине и в N раз по высоте.

2. Порядок выполнения исследования

1. Согласовать с преподавателем BMP-файл в формате RGB24 .

- ✓2. Выполнить загрузку в память указанного BMP-файла.
- ✓3. Выделить содержимое компонент R , G и B и сохранить их в отдельных файлах в формате RGB24 по следующему правилу: байты, не относящиеся к сохраняемой компоненте должны быть обнулены. В этом случае мы получим три файла с соответствующими цветами.
- ✓4. Проанализировать корреляционные свойства компонент R , G и B , используя формулу оценки коэффициента корреляции:

$$\hat{r}_{A,B} = \frac{\hat{M}[(A - \hat{M}[A])(B - \hat{M}[B])]}{\hat{\sigma}_A \hat{\sigma}_B}, \quad (1.11)$$

где A и B — компоненты изображения; $\hat{M}[\cdot]$ — оценка математического ожидания в соответствии с формулой

$$\hat{M}[I^{(A)}] = \frac{1}{WH} \sum_{i=1}^H \sum_{j=1}^W I_{i,j}^{(A)},$$

где $\hat{\sigma}_A$ и $\hat{\sigma}_B$ — оценки среднеквадратичного отклонения компонент A и B , вычисляемые по формуле

$$\hat{\sigma}_A = \sqrt{\frac{1}{WH-1} \sum_{i=1}^H \sum_{j=1}^W \left(I_{i,j}^{(A)} - \hat{M}[I^{(A)}] \right)^2}.$$

Дополнительную информацию по корреляционному анализу можно найти в главах 12 и 18 книги [5]. При анализе необходимо:

а) вычислить оценки коэффициентов корреляции между каждой парой компонент изображения $\hat{r}_{R,G}$, $\hat{r}_{R,B}$ и $\hat{r}_{B,G}$.

б) построить сечения трехмерного графика оценки нормированной автокорреляционной функции $r_{A,A}(x, y)$. Под автокорреляционной функцией здесь понимается коэффициент корреляции, рассчитанный по двум выборкам. Первая формируется по данным $A_{i,j}$, где $i = 1, \dots, H - y$, а $j = 1, \dots, W - x$. Вторая выборка формируется по $A_{m,n}$, где $m = y + 1, \dots, H$, а $n = x + 1, \dots, W$. Значения по оси y необходимо зафиксировать в точках $(0, \pm 5, \pm 10)$. Шаг по оси x определить самостоятельно. Максимальное значение x не должно превышать четверти значения ширины изображения W . Таким образом необходимо построить пять графиков сечения автокорреляционной функции для каждой компоненты.

✓ 5. Выполнить преобразование данных из формата RGB в YC_bC_r , используя формулы (1.8). Для компонент Y , C_b и C_r вычислить оценки в соответствии с пунктом 4.

✓ 6. Сохранить содержимое каждой из компонент Y , C_b и C_r в отдельном файле в формате $RGB24$. Значение компоненты для каждого пикселя следует сохранять во всех трех байтах, соответствующих позициям R , G и B этого пикселя. В этом случае будут сформированы три файла с интенсивностями в градациях серого цвета.

✓ 7. Выполнить обратное преобразование данных из формата YC_bC_r в RGB , используя формулы (1.9). Для компонент B , G , и R вычислить значение $PSNR$ по исходным и восстановленным данным.

✓ 8. Произвести децимацию компонент C_b и C_r в два раза по ширине и в два раза по высоте следующими способами:

- а) исключив строки и столбцы с четными номерами;
- б) вычислив значения элементов прореженного изображения как среднее арифметическое четырех смежных элементов из исходного изображения.

✓ 9. Произвести восстановление исходного размера для компонент C_b и C_r путем копирования недостающих значений слева и/или сверху, после чего выполнить обратное преобразование из YC_bC_r в RGB , используя формулы (1.9).

✓ 10. Для компонент C_b , C_r , B , G , и R вычислить значение $PSNR$ по исходным и восстановленным данным.

✓ 11. Повторить пункты 8 – 10, уменьшив размеры компонент C_b и C_r в 4 раза по ширине и высоте.

✓ 12. Построить гистограммы частот для компонент R , G , B , Y , C_b и C_r . Гистограммы для каждой компоненты необходимо построить на отдельном рисунке. Компоненты C_b и C_r брать с исходными размерами.

✓ 13. Оценить число бит, затрачиваемых при поэлементном независимом сжатии компонент R , G , B , Y , C_b и C_r , воспользовавшись формулой (1.7).

14. Следующая серия заданий предназначена для количественного анализа эффективности разностного кодирования, которое используется в алгоритмах класса Differential Pulse-Code Modulation ($DPCM$). Требуется сформировать массивы разностей $D_A^{(r)}$, где A указывает компоненту исходного изображения, для которой вычисляется разность, а

r — номер правила вычисления разности. Значение на позиции (i, j) следует вычислять по следующей формуле:

$$d_A^{(r)}(i, j) = a(i, j) - f^{(r)}(i, j),$$

где $a(i, j)$ — значение пикселя в компоненте A на позиции (i, j) , а $f^{(r)}(i, j)$ — правило с номером r , по которому вычисляется предсказание пикселя на позиции (i, j) . В исследовании следует использовать следующие правила предсказания:

- 1 — сосед слева (на позиции $(i, j - 1)$);
- 2 — сосед сверху (на позиции $(i - 1, j)$);
- 3 — сосед сверху слева (на позиции $(i - 1, j - 1)$);
- 4 — среднее арифметическое трех соседей — сверху, слева и сверху слева.

Пиксели, находящиеся в первой строке и в первом столбце, из рассмотрения исключить, так как они не имеют некоторых соседей для построения предсказания. Массивы следует построить для компонент R, G, B, Y, C_b и C_r .

15. Для массивов $D_A^{(r)}$, сформированных в предыдущем задании, построить гистограммы частот и сравнить их с гистограммами значений соответствующих компонент.

16. Оценить число бит, затрачиваемых при поэлементном независимом сжатии массивов $D_A^{(r)}$, воспользовавшись формулой (1.7). Сравнить полученные значения с оценками энтропии для соответствующих компонент.

17. Согласовать с преподавателем и выполнить индивидуальное задание из перечня индивидуальных заданий.

3. Требования к оформлению отчета

Отчет должен содержать следующие пункты:

1. постановка задачи;
2. описание структуры формата RGB24 . Дать дополнительные пояснения, какие значения полей использовались при выполнении исследования;
3. описание алгоритма работы (чтение/запись) с файлом RGB24 ;
4. описание реализованных алгоритмов;

5. результаты (графики, численные расчеты) выполнения исследования;
6. результаты (графики, численные расчеты) выполнения индивидуального задания;
7. выводы, сформулированные на основе полученных результатов;
8. листинги реализованных программ.

4. Перечень индивидуальных заданий

1. Изменение местоположения пикселей исходного файла для получения следующих результатов:

- а) сформировать зеркальное изображение (отразить относительно вертикали);
- б) результирующий файл должен содержать исходное изображение, отраженное относительно горизонтали (эффект отражения в воде);
- с) осуществить поворот изображения против часовой стрелки на 90° ;
- д) то же на 180° ;
- е) то же на 270° .

2. Изменение яркости и цвета изображения для получения следующих результатов:

- а) изменение яркости на N градаций;
- б) удаление цвета из исходного изображения (перевод в полутоновый формат представления);
- с) формирование битонального изображения по порогу Thr . Если значение яркости пикселя превышает порог, то оно заменяется на максимальное (в нашем случае — 255). В противном случае значение пикселя заменяется на минимальное, т.е. нулевое.

3. Разложение изображения на битовые плоскости.

Для выполнения этой серии заданий необходимо представить матрицу значений яркостной компоненты Y в виде набора двоичных матриц Y_i^B ($i = 0, \dots, 7$ для восьмибитных значений), называемых *битовыми плоскостями*. Каждая плоскость формируется по следующим правилам:

- значение бита $Y_i^B(y, x)$, расположенного в строке y и столбце

x , соответствует биту с номером i пикселя, находящегося в той же позиции компоненты Y ;

- нумерация выполняется от старших бит к младшим.

Требуется выполнить следующие действия:

а) сформировать восемь битональных изображений на основе значений битовых плоскостей;

б) вычислить коэффициент корреляции между каждой парой битовых плоскостей. Результаты сформировать в виде сводной таблицы;

с) построить гистограммы частот и оценить число бит, затрачиваемых при поэлементном независимом сжатии каждой битовой плоскости, воспользовавшись формулой (1.7). Результаты сформировать в виде сводной таблицы.

4. Разложение изображения на подкадры.

Для выполнения этого задания потребуется представить исходную яркостную компоненту Y в виде четырех *подкаров* $Y_{(i,j)}$ ($i, j = 0, 1$), которые формируются следующим образом. $Y_{(i,j)}(y, x) = Y(2y + i, 2x + j)$. Например, кадр $Y(0, 0)$ формируется по значениям яркостей пикселей, находящихся в четных строках и четных столбцах исходного изображения. Необходимо выполнить следующие действия:

а) сформировать четыре ВМР-файла, содержащих подкадры $Y(i, j)$.

б) построить график автокорреляционной функции для каждого подкадра.

с) вычислить коэффициент корреляции между каждой парой подкадров.

д) построить гистограммы частот и оценить число бит, затрачиваемых при поэлементном независимом сжатии каждого подкадра, воспользовавшись формулой (1.7).

е) модифицировать значения подкадров следующим образом. Подкадр $Y_{(0,0)}$ оставить без изменений $Y'_{(0,0)}(y, x) = Y_{(0,0)}(y, x)$. Пиксели подкадра $Y_{(0,1)}$ представить в виде разности пикселей исходного и соответствующих пикселей подкадра $Y_{(0,0)}$: $Y_{(0,1)}(y, x)' = Y_{(0,1)}(y, x) - Y_{(0,0)}(y, x)$. Пиксели подкадра $Y_{(1,0)}$ представить в виде разности пикселей исходного и полусуммы соответствующих пикселей из $Y_{(0,0)}$ и $Y_{(0,1)}$: $Y_{(1,0)}(y, x)' =$

$Y_{(1,0)}(y, x) - \text{round}((Y_{(0,1)}(y, x) + Y_{(0,0)}(y, x))/2)$. Пиксели последнего подкадра формируются как разность его значений и среднего по соответствующим пикселям трех первых подкадров: $Y_{(1,1)}(y, x)' = Y_{(1,1)}(y, x) - \text{round}((Y_{(1,0)}(y, x) + Y_{(0,1)}(y, x) + Y_{(0,0)}(y, x))/3)$.

Построить гистограммы частот и оценить число бит, затрачиваемых при поэлементном независимом сжатии каждого модифицированного подкадра.

5. Вопросы для самопроверки

1. Какое число дополнительных (*dumty*) байтов необходимо добавлять в конце каждой строки, если ширина изображения составляет 301 пиксель?
2. Какое значение следует поместить в поле `biSizeImage` структуры `BITMAPINFOHEADER`, если изображение с разрешением 305×77 пикселей представляется в формате RGB24 ?
3. Для каких компонент производится операция *прореживания*? Какое обоснование справедливо для применения этой операции?
4. Для каких целей выполняется операция *насыщения* (*клиппирования*)?
5. Каким образом с помощью формата RGB24 можно сохранить черно-белое изображение (в оттенках серого)?

Исследование №2

Квантование данных

Цель исследования: изучение методов квантования на примере обработки изображений, получение практических навыков работы с форматом BMP, содержащим палитру изображения.

1. Теоретические основы исследования

1.1. Классификация методов квантования

В широком смысле под *квантованием* понимают правило отображения элементов x из некоторого исходного множества X в элементы другого множества Y :

$$y = Q(x), \quad (2.1)$$

причем процедура отображения такова, что несколько элементов из X (для непрерывного множества это подмножество значений) могут отображаться в один и тот же элемент из Y . Подмножество из X , все элементы которого отображаются в один и тот же элемент из Y , образуют *квант*. Множество Y принято называть *аппроксимирующим множеством*. С точки зрения теории множеств, множество X *мощнее* Y . Как правило, множество Y является конечным или счетным.

Конечный результат процедуры квантования зависит от конкретной прикладной задачи, в которой она применяется. Это может быть аппроксимирующий элемент y или номер кванта, в который попадает x . Результат представляется в виде индекса или кода, удобного для дальнейшего хранения или передачи в цифровой форме.

Пример 1. Применение квантования в цифровой технике.

Квантование является одним из методов, применяемых для перевода аналогового сигнала в цифровую форму. Процедура аналого-цифрового преобразования схематично изображена на рис. 2.1. С помощью *дискретизации* аналоговый сигнал преобразуется в дискретный, после чего дискретные *отсчеты* преобразуются в значения цифрового сигнала с помощью процедуры квантования.

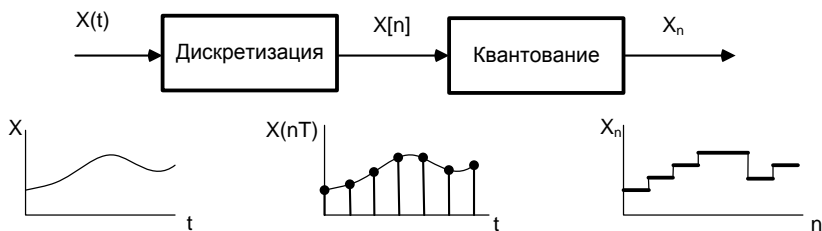


Рис. 2.1. Схема аналого-цифрового преобразования

Квантование также называют *дискретизацией сигнала по уровню*, имея в виду, что по завершению процедуры значения цифрового сигнала выбираются из конечного множества, мощность которого, как правило, равна степени числа 2.

В данном исследовании будут рассмотрены три способа квантования:

1. скалярное равномерное;
2. скалярное неравномерное;
3. векторное.

Квантование называют *скалярным*, если элементами множеств X и Y являются числовые (скалярные) величины. Если элементы обоих множеств являются векторами, то квантование называют *векторным*. В этом случае при отображении по формуле (2.1) длины всех векторов \bar{x} и \bar{y} должны совпадать.

1.2. Критерии оценки эффективности квантования

Поскольку по определению множество X мощнее аппроксимирующего множества Y , квантование в общем случае является преобразованием с потерями. Эффективность квантования, как правило, оценивается по *ошибке*, вносимой при выполнении процедуры. Однако в некоторых прикладных задачах могут также использоваться дополнительные критерии. Например, в задаче сжатия источника с потерями, в которой также применяется квантование, для оценки эффективности совместно с ошибкой используют степень достигаемого сжатия.

Введем в рассмотрение модель дискретного источника, выход которого будет подвергаться квантованию. Данные источника представляют собой *независимые, одинаково распределенные* случайные величины X (будем обозначать случайную величину по аналогии с множеством квантуемых значений, поскольку эти понятия взаимосвязаны). Также будем полагать, что случайная величина X является непрерывной и имеет плотность распределения $f(x)$.

Для количественного измерения ошибки квантования будем использовать метрику *евклидова расстояния*. Если квантованию подвергаются векторы \bar{x} длины n , то в качестве расстояния $\|\bar{x} - \bar{y}\|$ будем использовать евклидово расстояние в n -мерном пространстве:

$$\|\bar{x} - \bar{y}\| \triangleq \sqrt{(x_1 - y_1)^2 + \dots + (x_n - y_n)^2}, \quad (2.2)$$

где x_i и y_i определяют i -ю позицию в соответствующем векторе. Для скалярных величин x и y в качестве расстояния $\|x - y\|$ будем использовать абсолютную разность двух этих величин.

С помощью формулы (2.2) определяется ошибка квантования только для одного элемента исходного множества X . В качестве интегрального критерия эффективности обычно используют взвешенный интеграл квадратов ошибок, который называют *средним квадратом ошибки*:

$$\varepsilon_X^2 = \int_{-\infty}^{\infty} e^2(x) f(x) dx = \int_{-\infty}^{\infty} \|x - Q(x)\|^2 f(x) dx, \quad (2.3)$$

где $f(x)$ задает плотность распределения случайной величины, принимающей значения из X .

Также в качестве критерия оценки ошибки, вносимой при скалярном квантовании, используют отношение сигнал-шум:

$$SNR = 10 \lg \frac{\sigma_X^2}{\varepsilon_X^2}. \quad (2.4)$$

Заметим, что формула (2.4) имеет тот же смысл, что и (1.5), но в качестве энергии сигнала используется σ_X^2 — дисперсия случайной величины, которая подвергается квантованию (обратите внимание, что X должна быть центрированной случайной величиной, т.е. $M[X] = 0$). А в качестве энергии шума используется ε_X^2 — значение среднего квадрата ошибки, определяемого по формуле (2.3).

1.3. Скалярное квантование

1.3.1. Общие сведения

Поскольку элементами множества X и Y для скалярного квантования являются числа, для простоты будем далее полагать, что множество X есть подмножество вещественных чисел. Тогда кванты будут представлять собой интервалы вещественной оси, а определение процедуры квантования можно интерпретировать как задание способа разбиения числовой оси на эти интервалы и выбора в каждом из них единственного аппроксимирующего значения. Таким образом, для того чтобы определить процедуру скалярного квантования, необходимо задать следующие величины:

1. Число квантов N . Кванты при этом нумеруются от 1 до N . Для упрощения кодирования номера кванта с помощью равномерного кода, число квантов выбирают как $N = 2^R$, где R определяет число двоичных разрядов равномерного кода.

2. Границы квантов $t_i, i = 0, \dots, N$, j -й квант определяет полуоткрытый интервал $[t_{j-1}; t_j)$. В общем случае неважно, находится закрытая граница ']' справа или слева. В данной работе будем полагать, что такая граница всегда будет располагаться слева. Исключение могут составлять первый и последний кванты. Если множество X не ограничено слева, то первый квант $(-\infty, t_1)$ будет открытым. Если множество X ограничено справа значением t_N , то последний квант $[t_{N-1}, t_N]$ будет закрытым.

3. Аппроксимирующие значения $y_i \in [t_{(i-1)}; t_i), i = 1, \dots, N$.

Сама процедура скалярного квантования сводится к замене вещественного числа x на аппроксимирующее значение кванта, в который оно попадает:

$$x \in [t_{(i-1)}, t_i) \mapsto Q(x) = y_i.$$

Заметьте, что y_i также является вещественным числом.

Формулу (2.3) среднего квадрата ошибки можно переписать следующим образом:

$$\varepsilon_X^2 = \sum_{i=1}^N \int_{t_{(i-1)}}^{t_i} (x - y_i)^2 f(x) dx. \quad (2.5)$$

Процедуру отображения при скалярном квантовании часто изображают графически в виде ступенчатой функции в декартовой системе координат, как это показано на рис. 2.2,б.

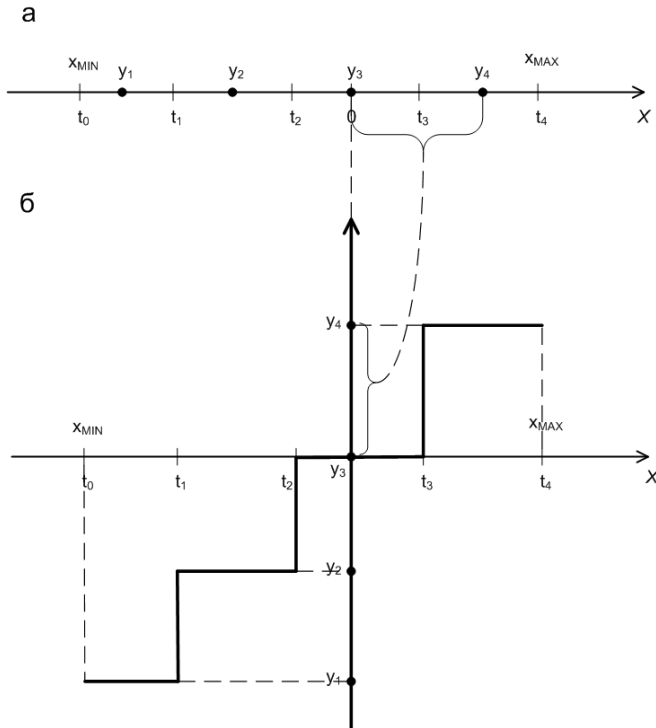


Рис. 2.2. Пример скалярного квантования $N = 4$: а — Пример разбиения числовой оси; б — ступенчатая функция.

Здесь на оси аргумента отложены элементы исходного множества X , а по оси ординат — значения аппроксимирующего множества Y . Если множество X является неограниченным, то $t_0 = -\infty$, а $t_N = \infty$. Для ограниченного множества X границы крайних квантов и определяются предельными элементами множества X .

В зависимости от положения нулевого значения различают два вида скалярного квантования:

1. нулевое значение расположено на границе одного из квантов (рис.

2.3,а). В англоязычной литературе этот вид квантования называют *midrise*. При этом ноль не является аппроксимирующим значением;

2. нулевое значение расположено внутри одного из квантов, часто в его середине (рис. 2.3,б). В англоязычной литературе этот вид квантования называют *midtread*. При этом ноль, как правило, является аппроксимирующим значением. Примером такого вида скалярного квантования является арифметическое округление.

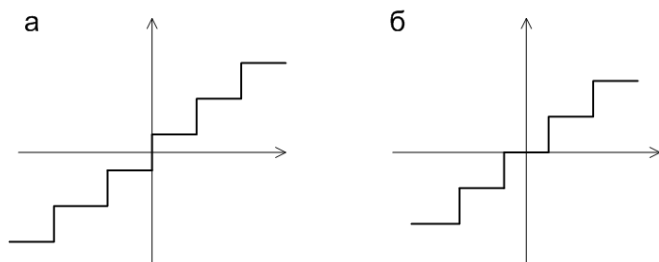


Рис. 2.3. Виды скалярного квантования: а — *midrise* — ноль на границе кванта; б — *midtread* — ноль внутри кванта

Если все кванты, кроме крайних для случая, когда множество X неограничено, имеют одинаковый размер, то квантование называют *равномерным* (в англоязычной литературе *uniform scalar quantization*). В другом случае квантование называется *неравномерным*.

Пример 2. Равномерное скалярное квантование случайной величины, распределенной по равномерному закону на интервале $[-3, 3]$.

Пусть равномерному квантованию подвергаются отсчеты $x_t \sim U[-3, 3]$, распределенные по равномерному закону на интервале $[-3, 3]$, и число квантов равно 8. В случае равномерного квантования $\Delta = \frac{3}{4}$, $t_i = -3 + i \cdot \Delta$ и $y_i = \frac{t_{(i-1)} + t_i}{2}$. Ниже представлена таблица с полным описанием схемы квантования.

i	$[t_{(i-1)}; t_i)$	y_i	код
1	$[-3; -2.25)$	-2.625	000
2	$[-2.25; -1.5)$	-2	001
3	$[-1.5; -0.75)$	-1.125	010
4	$[-0.75; 0)$	-0.375	011
5	$[0; 0.75)$	0.375	100
6	$[0.75; 1.5)$	1.125	101
7	$[1.5; 2.25)$	2	110
8	$[2.25; 3]$	2.625	111

Рассмотренный пример относится к равномерному скалярному квантованию вида *midrise*.

1.3.2. Анализ эффективности равномерного скалярного квантования

Равномерное скалярное квантование является популярным в силу простоты его реализации. Все кванты за исключением крайних одинаковы и равны некоторой величине Δ . Для того чтобы определить равномерное скалярное квантование, необходимо задать только число квантов N . Границы квантов рассчитываются, исходя из области значений случайной величины X . Аппроксимирующие значения выбираются в середине квантов.

Пример 3. Округление вещественных чисел.

Наиболее известным примером равномерного скалярного квантователя является *округление* вещественных чисел $r \in \mathbb{R}$ до целых $z \in \mathbb{Z}$. При округлении $X \sim \mathbb{R}, Y \sim \mathbb{Z}$ и $\Delta = 1$. Границы квантов совпадают со значениями $[z - 0.5, z + 0.5)$, где $z \in \mathbb{Z}$. Особенностью данного примера является то, что при округлении элементы из непрерывного множества преобразуются в элементы из счетного множества. Сама процедура квантования может быть представлена в виде арифметического выражения:

$$y = \lfloor x + 0.5 \rfloor,$$

где $\lfloor \cdot \rfloor$ — операция отбрасывания дробной части, реализуемая на языке C с помощью функции `floor()`.

Размер кванта Δ выбирается в соответствии с количеством квантов N и диапазоном значений, принимаемых случайной величиной X . Наиболее простую зависимость ошибки квантования от количества квантов N можно продемонстрировать для случая (2.4), когда данные распределены по равномерному закону $U[a, b]$. Равномерное распределение задается двумя параметрами — минимальным a и максимальным b значениями, которые может принимать случайная величина X .

В качестве меры вносимых при квантовании искажений будем использовать отношение «сигнал-шум», задаваемое формулой (2.4). Дисперсия равномерно распределенной случайной величины равна:

$$\sigma_X^2 = \frac{(b - a)^2}{12} = \frac{(2^R \Delta)^2}{12}. \quad (2.6)$$

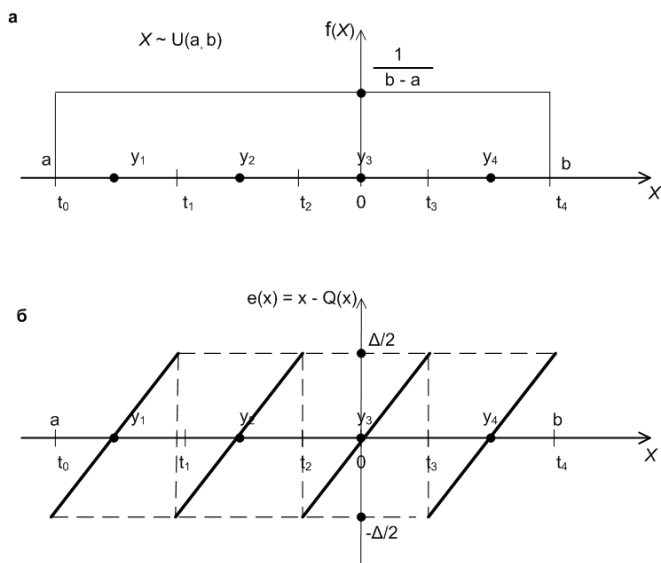


Рис. 2.4. Ошибка квантования случайной величины $X \sim U[a, b]$

Поскольку при квантовании равномерно распределенной случайной величины вероятности ошибок квантования внутри каждого кванта Δ_i будут одинаковые, то, подставляя функцию плотности равномерного распределения в формулу (2.5), получим средний квадрат ошибки вида

$$\begin{aligned} \varepsilon_X^2 &= \sum_{i=1}^N \int_{t_{(i-1)}}^{t_i} (x - y_i)^2 \frac{1}{N\Delta} dx = \frac{1}{N\Delta} \sum_{i=1}^N \int_{y_i - \frac{\Delta}{2}}^{y_i + \frac{\Delta}{2}} (x - y_i)^2 dx = \\ &= \frac{1}{\Delta} \int_{y_i - \frac{\Delta}{2}}^{y_i + \frac{\Delta}{2}} (x - y_i)^2 dx. \end{aligned} \quad (2.7)$$

Ошибка внутри кванта с номером i имеет вид функции $e(x) = x - y_i$, т.е. прямой пересекающей ось абсцисс в точке, равной аппроксимирующему значению y_i этого кванта, как показано на рис.2.4,б. Максимальное по модулю значение ошибки не превышает значения $\frac{\Delta}{2}$. Выполним подстановку $x - y_i = z$, в результате которой выражение (2.7) примет вид

$$\varepsilon_X^2 = \frac{1}{\Delta} \int_{-\frac{\Delta}{2}}^{\frac{\Delta}{2}} z^2 dz. \quad (2.8)$$

Таким образом, вычислив интеграл (2.7), получим

$$\varepsilon_X^2 = \frac{\Delta^2}{12}. \quad (2.9)$$

Подставляя формулы (2.6) и (2.9) в (2.4), получим окончательную функциональную зависимость отношения «сигнал-шум» от логарифма (по основанию два) числа квантов R , которая имеет линейный характер:

$$SNR(R) = 10 \lg ((2^R)^2) = 20R \lg 2 \simeq 6.02R \text{ dB}. \quad (2.10)$$

Для случайных величин, распределенных не по равномерному закону, значение среднеквадратической ошибки будет отличаться от приведенной в формуле (2.9). Покажем, что при большом числе квантов для произвольного распределения ошибку равномерного квантование также можно оценивать с помощью формулы (2.10). Для этого перепишем формулу (2.5) в форме условного математического ожидания:

$$\varepsilon_X^2 = \sum_{i=1}^N M [e^2(x) | x \in [t_{(i-1)}; t_i]] \Pr \{x \in [t_{(i-1)}; t_i]\}. \quad (2.11)$$

При этом

$$\sum_{i=1}^N \Pr \{x \in [t_{(i-1)}; t_i]\} = 1 \quad (2.12)$$

и условное математическое ожидание квадрата ошибки квантования случайной величины X при условии, что ее значение попадает в i -й квант, определяемый на интервале $[t_{(i-1)}; t_i]$, равно:

$$M [e^2(x) | x \in [t_{(i-1)}; t_i]] = \int_{t_{(i-1)}}^{t_i} (x - y_i)^2 f(x | \{x \in [t_{(i-1)}; t_i]\}) dx. \quad (2.13)$$

Условная плотность вероятности $f(x | \{x \in [t_{(i-1)}; t_i]\})$, представленная в формуле (2.13), определяется отношением плотности вероятности $f(x)$ к вероятности попадания непрерывной случайной величины X в этот интервал. Таким образом

$$M [e^2(x) | x \in [t_{(i-1)}; t_i]] = \int_{t_{(i-1)}}^{t_i} (x - y_i)^2 \frac{f(x)}{\int_{t_{(i-1)}}^{t_i} f(y) dy} dx. \quad (2.14)$$

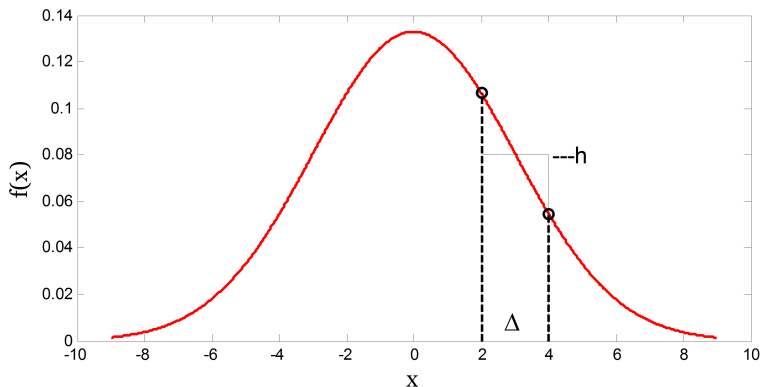


Рис. 2.5. Приближенное вычисление вероятности попадания в квант $[t_{i-1}; t_i]$ при равномерном скалярном квантовании

Для равномерного распределения $f(x) = \frac{1}{N\Delta}$ при любом допустимом значении x , а $\int_{t_{(i-1)}}^{t_i} f(y)dy = \frac{1}{N}$. Подставив соответствующие значения в (2.14) и (2.11), придем к результату, полученному в формуле (2.7).

Для распределения, отличного от равномерного, значение $f(x)$ на любом из интервалов не будет постоянным. Для того, чтобы оценить ε_X^2 для произвольного распределения, построим на интервале $[t_{(i-1)}; t_i]$ прямоугольник со сторонами Δ и h (рис. 2.5) таким образом, чтобы выполнялось условие

$$\int_{t_{(i-1)}}^{t_i} f(y)dy = h_i\Delta.$$

При этом на интервале $[t_{(i-1)}; t_i]$ для распределения, отличного от равномерного, $f(x)$ может не совпадать с h_i . Однако при большом числе квантов интервал Δ становится малым и можно считать, что значение $f(x)$ на всем интервале постоянно, т.е. $f(x) \approx h_i$. В итоге выражение

(2.11) сводится к

$$\begin{aligned}\varepsilon_X^2 &\approx \sum_{i=1}^N \left[\int_{t_{(i-1)}}^{t_i} (x - y_i)^2 \frac{1}{\Delta} dx \right] \Pr \{x \in [t_{(i-1)}; t_i]\} = \\ &= \frac{\Delta^2}{12} \sum_{i=1}^N \Pr \{x \in [t_{(i-1)}; t_i]\} = \frac{\Delta^2}{12}.\end{aligned}\quad (2.15)$$

Таким образом, из совпадения (2.9) и (2.15) следует, что формулу (2.10) также можно использовать для приближенной оценки ошибки равномерного квантования значений случайной величины с произвольным распределением. Точность этой оценки необходимо будет проанализировать в задании 1d в ходе выполнения данного исследования.

1.3.3. *Неравномерное скалярное квантование. Алгоритм Макса-Ллойда*

Равномерное квантование не является эффективным для случая, когда плотность распределения случайной величины отлична от равномерного закона. При минимизации среднеквадратической ошибки ε_X^2 размеры квантов уже не будут одинаковыми, и оптимальные аппроксимирующие значения не обязательно будут располагаться в середине кванта. На рис. 2.6 этот факт поясняется на качественном уровне. Для минимизации ошибок размеры квантов в области наиболее частых значений должны быть меньше, т.е. скалярное квантование становится *неравномерным*.

Для формирования параметров оптимального неравномерного квантования сформулируем следующую оптимизационную задачу. Пусть задана функция плотности вероятности $f(x)$ непрерывной случайной величины X и количество квантов N . Требуется выбрать значения границ квантов $\{t_i\}$ и аппроксимирующих значений $\{y_i\}$, минимизирующие целевую функцию, которой является средний квадрат ошибки квантования (2.5). Результатом решения задачи минимизации целевой функции (2.5) является одновременное выполнение двух следующих условий:

$$t_i = \frac{y_{(i+1)} + y_i}{2}; \quad (2.16)$$

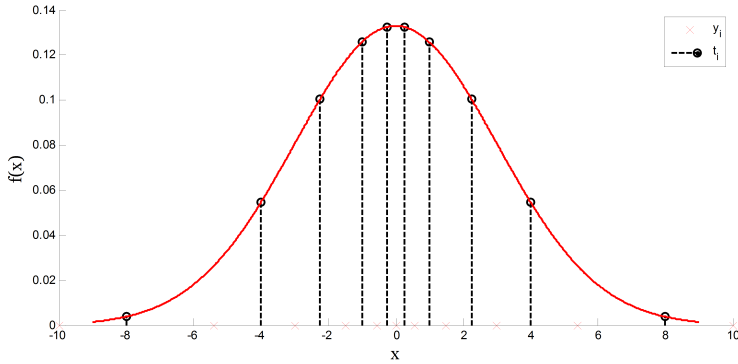


Рис. 2.6. Пример неравномерного скалярного квантования

$$y_i = \frac{\int_{t_{(i-1)}}^{t_i} x f(x) dx}{\int_{t_{(i-1)}}^{t_i} f(x) dx}. \quad (2.17)$$

На практике функция плотности вероятности $f(x)$ неизвестна, и для формирования параметров оптимального неравномерного квантования используют выборку случайной величины X . Итеративный алгоритм, который на основе выборки находит приближенное значение $\{t_i\}$ и $\{y_i\}$ в соответствии с формулами (2.16) и (2.17) был сформулирован Ллойдом в 1956 г. и опубликован Максом [6] в 1960 г. (работа Ллойда была опубликована в 1982 [7]). Алгоритм состоит из следующих шагов.

Входные данные:

- выборка $\{x_1, x_2, \dots, x_M\}$;
- число квантов N , причем $M \gg N$.

Вспомогательные переменные:

- k - номер текущей итерации алгоритма;
- $t_i^{(k)}$ — пороговые значения квантователя на итерации k ;
- $y_i^{(k)}$ — аппроксимирующие значения квантователя на итерации k ;
- $|Q_i^{(k)}(x)|$ — количество элементов из исходной выборки $\{x\}$, которые попадают в i -й квант на итерации k ;
- $T_{\varepsilon 2}$ — предустановленный порог для ошибки квантования;

- Δ_{ε^2} — предустановленный порог для разности ошибок квантования на текущей (k) и предыдущей ($k - 1$) итерациях;
- T_k — предустановленный порог для максимального числа итераций.

Инициализация:

- $k = 1$.
- Определение начальных значений $t_i^{(1)}$. Начальные значения можно задать произвольным образом, но так, чтобы выполнялось два условия:

$$t_{(i-1)}^{(1)} < t_i^{(1)}; \quad (2.18)$$

$$|Q_i^{(1)}(x)| \neq 0, \quad \forall i = 1, \dots, N. \quad (2.19)$$

Последнее условие означает, что в каждый квант должно попасть как минимум одно значение из исходной выборки $\{x_j\}$. Наиболее простой способ — использовать для инициализации $\{t_i^{(1)}\}$ значения границ равномерного квантователя:

$$\begin{aligned} t_0^{(1)} &= \min_j \{x_j\}; \\ t_N^{(1)} &= \max_j \{x_j\}; \\ t_i^{(1)} &= t_0^{(1)} + i \frac{t_N^{(1)} - t_0^{(1)}}{N}. \end{aligned}$$

После этого надо убедиться, что условие (2.19) выполняется. В противном случае необходимо изменить ранее сформированное множество $\{t_i^{(1)}\}$.

Шаг 1. Для каждого кванта i , определяемого интервалом $[t_{(i-1)}^{(k)}; t_i^{(k)})$ вычисляется среднее значение среди элементов выборки, попавших в этот интервал. Вычисленное среднее присваивается аппроксимирующему значению $y_i^{(k)}$:

$$y_i^{(k)} = \frac{1}{|Q_i^{(k)}(x)|} \sum_{x_j \in [t_{(i-1)}^{(k)}; t_i^{(k)})} x_j. \quad (2.20)$$

При работе с выборкой формула (2.20) соответствует формуле (2.17).

Шаг 2. Вычисление ошибки квантования $\varepsilon_{\chi}^2(k)$ на текущей итерации k в соответствии с текущими аппроксимирующими значениями $y_i^{(k)}$

и границами $t_i^{(k)}$:

$$\varepsilon_X^2(k) = \frac{1}{M} \sum_{j=1}^M (x_j - Q(x_j))^2; \quad (2.21)$$

$$Q(x_j) = y_s^{(k)} : x_j \in [t_{s-1}^{(k)}, t_s^{(k)}). \quad (2.22)$$

При работе с выборкой формула (2.21) соответствует (2.3). Напомним, что $Q(x_j)$ определяет правило выбора аппроксимирующего значения по кванту, в который попадает x_j .

Шаг 3. Анализ условий останова алгоритма:

1. $\varepsilon_X^2(k) < T_{\varepsilon^2}$;
2. $\varepsilon_X^2(k) - \varepsilon_X^2(k-1) < \Delta_{\varepsilon^2}$;
3. $k == T_k$.

Если одно из вышеперечисленных условий выполняется, то алгоритм завершает свою работу.

Шаг 4. Установка значений границ $t_i^{(k)}$ в соответствии с формулой (2.16)

Шаг 5. $k = k + 1$. Переход к шагу 1.

Строго говоря, алгоритм никогда не достигает оптимального значения, так как одно из условий (2.16) или (2.17) остается невыполненным после останова. В оригинальном описании алгоритма [7] проверка на выполнение условия останова (шаги 2 и 3) выполняется после каждой модификации: аппроксимирующих значений $y_i^{(k)}$ (шаг 1) и граничных значений $t_i^{(k)}$ (шаг 4). Изложенный вариант с одной проверкой останова обусловлен практическими соображениями ускорения процедуры. К тому же такой вариант позволяет не хранить границы квантов $\{t_i\}$, так как номер кванта может быть определен по ближайшему к x аппроксимирующему значению y_i .

1.4. Векторное квантование. Алгоритм Линде-Бузо-Грея

Алгоритм построения оптимального векторного квантователя является обобщением скалярного случая. Поэтому его иногда еще называют *обобщенным алгоритмом Макса-Ллойда*. Аппроксимирующие векторы \bar{y} и квантуемые векторы \bar{x} можно интерпретировать, как точки в n -мерном пространстве, где n — длина векторов. Чтобы определить схему векторного квантования, необходимо сформировать множество из

N аппроксимирующих векторов $\{\bar{y}\}$, которое называют *кодовой книгой*. Процедура квантования $\bar{y} = Q(\bar{x})$ заключается в выборе для \bar{x} наиболее близкого по заранее определенной метрике вектора \bar{y} из кодовой книги. Границы между квантами определены условно, исходя из выбранной метрики. В качестве метрики будем вновь использовать евклидово расстояние. Геометрической интерпретацией векторного квантования может служить *диаграмма Вороного*, пример которой приведен на рис. 2.7.

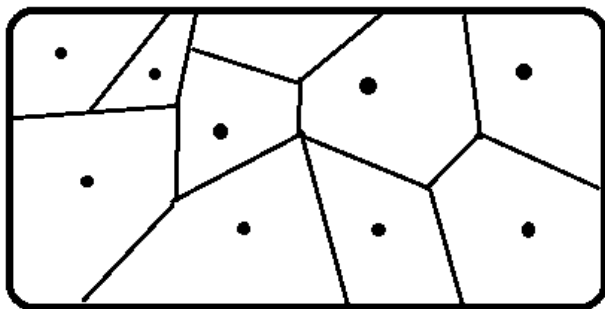


Рис. 2.7. Пример диаграммы Вороного

Пример 4. Палитра BMP-файла как кодовая книга.

Рассмотрим в качестве примера кодовой книги палитру в формате изображений BMP8. Для представления цвета пикселя также используется стандартная тройка базовых цветов (R, G, B) , однако тройки выбираются не произвольно, как в формате BMP24, а из набора 256 вариантов, определенных в палитре, которая располагается между заголовком и данными. Поскольку выбор осуществляется из 2^8 вариантов, для представления пикселя необходим один байт. Более подробное описание работы с палитрой в формате BMP8 будет представлено в подразделе 1.5.

Обобщение метода Ллойда-Макса в англоязычной литературе также известно, как алгоритм Линде-Бузо-Грея [8], [3]. Алгоритм состоит из следующих шагов.

Входные данные:

- выборка векторов $\{\bar{x}_1, \bar{x}_2, \dots, \bar{x}_M\}$; векторы имеют длину n ;
- размер кодовой книги N , причем $M \gg N$.

Вспомогательные переменные:

- k - номер текущей итерации алгоритма;
- $\bar{y}_i^{(k)}$, $i = 1, \dots, N$ — аппроксимирующие векторы кодовой книги на итерации k ;
- S_i , $i = 1, \dots, N$ — набор счетчиков, фиксирующих количество векторов исходной выборки, для которых вектор $\bar{y}_i^{(k)}$ будет являться аппроксимирующим на текущей итерации. По смыслу S_i аналогично $|Q_i^{(k)}(x)|$ в алгоритме Ллойда-Макса.
- \bar{v}_i , $i = 1, \dots, N$ — набор из векторов-счетчиков для накопления суммы квантуемых векторов, отнесенных к i -му кванту;
- T_{ε^2} — предустановленный порог для ошибки квантования;
- Δ_{ε^2} — предустановленный порог для разности ошибок квантования на текущей (k) и предыдущей ($k - 1$) итерациях;
- T_k — предустановленный порог для максимального числа итераций.

Инициализация:

- $k = 1$.
- Формируем кодовую книгу $\bar{y}^{(1)}$ из N векторов исходной выборки произвольным образом. Формирование кодовой книги на основе первых N векторов исходной выборки не рекомендуется в силу высокой корреляции между соседними векторами в выборке. Это особенно характерно для изображений.

Шаг 1. Вычисление ошибки квантования $\varepsilon_X^2(k)$ на текущей итерации k с использованием кодовой книги $\{\bar{y}^{(k)}\}$:

$$\varepsilon_X^2(k) = \frac{1}{M} \sum_{j=1}^M \|\bar{x}_j - Q(\bar{x}_j)\|^2, \quad (2.23)$$

$$Q(\bar{x}_j) = \bar{y}_s^{(k)} : s = \underset{i}{\operatorname{argmin}} \{\|\bar{x}_j - \bar{y}_i^{(k)}\|^2\}. \quad (2.24)$$

При работе с выборкой формула (2.23) соответствует (2.3).

Шаг 2. Анализ условий останова алгоритма:

1. $\varepsilon_X^2(k) < T_{\varepsilon^2}$;
2. $\varepsilon_X^2(k) - \varepsilon_X^2(k - 1) < \Delta_{\varepsilon^2}$;
3. $k == T_k$.

Если одно из вышеперечисленных условий выполняется, то алгоритм завершает свою работу.

Шаг 3. Обнуление всех счетчиков S_i и векторов-счетчиков \bar{v}_i :

$$\bar{v}_i = \bar{0}, \quad i = 1, \dots, N;$$

$$S_i = 0, \quad i = 1, \dots, N.$$

Шаг 4. Для каждого вектора выборки $\bar{x}_j, j = 1, \dots, N$ выполняются следующие действия.

- Определяется наиболее близкий по евклидову расстоянию аппроксимирующий вектор $\bar{y}_i^{(k)}$.

$$t = \underset{i}{\operatorname{argmin}} \{ \|\bar{x}_j - \bar{y}_i^{(k)}\|^2 \},$$

где $\|\bar{x}_j - \bar{y}_i^{(k)}\|$ вычисляется по формуле (2.2).

- Модификация вектора \bar{v}_t :

$$\bar{v}_t = \bar{v}_t + \bar{x}_j.$$

Сложение векторов выполняется по правилам линейной алгебры (поэлементно).

- Наравивание счетчика S_t :

$$S_t = S_t + 1.$$

Шаг 5. Формирование новой кодовой книги, которая будет использоваться на следующей итерации $k + 1$:

$$\bar{y}_i^{(k+1)} = \frac{\bar{v}_i}{S_i}, \quad i = 1, \dots, N.$$

Деление вектора \bar{v}_i на скаляр осуществляется по правилам линейной алгебры (поэлементно).

Шаг 6. $k = k + 1$. Переход к шагу 1.

Границы квантов можно формально получить по построенной кодовой книге, определив множество векторов $\{\bar{t}_{i,j}\}$, которые равноудалены от аппроксимирующих векторов в \bar{y}_i и \bar{y}_j . Для этого воспользуемся следующим равенством:

$$\|\bar{t}_{i,j} - \bar{y}_i\|^2 = \|\bar{t}_{i,j} - \bar{y}_j\|^2.$$

Совокупность векторов $\{\bar{t}_{i,j}\}$ для всех возможных значений пар i и j формирует так называемые *многогранники Вороного*.

1.5. Использование палитры в формате BMP

С помощью формата BMP24 можно представить до $2^{24} \sim 16$ млн. различных цветовых оттенков одного пикселя. Однако далеко не все из них используются в одном изображении. Для сокращения размера файла ранее в формате BMP активно использовался способ *ссылочного* представления значения пикселя вместо *непосредственного*, как для 24-битной версии. Для организации такого представления используется специальная таблица, которую принято называть *палитрой* (*palette*).

В файле BMP палитра хранится после заголовочной структуры BITMAPINFOHEADER. Палитра представляет собой логическую таблицу, строки которой последовательно записаны в файле с помощью структур типа RGBQUAD. Структура RGBQUAD объявляется следующим образом:

```
typedef struct tagRGBQUAD {  
    BYTE rgbBlue;  
    BYTE rgbGreen;  
    BYTE rgbRed;  
    BYTE rgbReserved;  
} RGBQUAD;
```

В первых трех полях хранится комбинация значений синей (rgbBlue), зеленой (rgbGreen) и красной (rgbRed) компонент. Значение поля rgbReserved не используется. Таким образом, строка таблицы описывает цветовой оттенок, используя 24 бита. Значение пикселя в разделе данных интерпретируется как ссылка на строку в таблице палитры.

Количество экземпляров структуры RGBQUAD, представленных в разделе палитры, определяется в переменной biClrUsed структуры BITMAPINFOHEADER. Очевидно, что при затрате k бит на представление одного пикселя, размер палитры следует выбирать 2^k для обеспечения максимально возможного числа используемых цветовых оттенков в этом файле. Чтобы обеспечить такой способ представления данных, следует установить значение поля biClrUsed в ноль. В этом случае размер палитры будет определяться полем biBitCount структуры BITMAPINFOHEADER, которое в случае использования палитры может принимать значения 1, 2, 4 или 8.

2. Порядок выполнения исследования

1. Проверка точности оценки SNR , получаемой по формуле (2.10):

а) сформировать выборку объемом $M = 10000$ равномерно распределенной случайной величины $X \sim U[-a, a]$. Значение параметра a определяет преподаватель.

б) применить к выборке $\{x_1, \dots, x_M\}$ равномерное квантование с числом квантов 2^R , где $R = 1, \dots, 7$.

с) По результатам эксперимента построить график $SNR(R)$ и сравнить его с теоретическим, полученным по формуле (2.10).

д) выполнить аналогичные действия для выборки случайной величины, распределенной по нормальному закону $N(0, \sigma^2)$, где $\sigma = \frac{a}{3}$. Примечания по заданию:

- интервал квантования установить $[-a; a]$ (как и для случайной величины X),

- $t_0 = -\infty$, $t_{N-1} = +\infty$ (N — число квантов).

е) провести сравнение построенных теоретического и экспериментальных графиков, сделать выводы о возможности использования теоретического расчета для экспериментальных выборок данных;

ф) выполнить равномерное квантование с числом квантов 2^R , где $R = 1, \dots, 7$ для трех выборок, сформированных на основе яркостной Y и цветоразностных компонент C_b , C_r (компоненты вычислить по изображению в формате BMP24, выбранному самостоятельно). Построить график $SNR(R)$ по результатам выполненного квантования.

2. Анализ скалярного квантования включает в себя следующие действия:

а) получить у преподавателя три изображения в формате RGB24, различающиеся по яркости:

- с преобладанием светлых тонов («засвеченное» изображение),
- сбалансированное по яркости изображение,
- затемненное изображение.

б) для каждого получить яркостную составляющую Y , воспользовавшись формулой (1.8). Все дальнейшие действия проводить только с Y компонентой;

с) для каждого тестового изображения построить гистограмму яркостной компоненты Y ;

- d) выполнить равномерное скалярное квантование исходных данных на 2^R уровней, где $R = 1, \dots, 7$;
- e) для каждого значения R вычислить $PSNR$, воспользовавшись формулой (1.6) и оценить энтропию H по формуле (1.7);
- f) по вычисленным значениям для равномерного квантования построить графики $PSNR(R)$ и $PSNR(H)$;
- g) реализовать алгоритм Макса-Ллойда для оптимального неравномерного скалярного квантования на 2^R уровней. Применить алгоритм к каждому изображению;
- h) выполнить неравномерное скалярное квантование исходных данных на 2^R уровней, где $R = 1, \dots, 7$;
- i) для каждого значения R вычислить $PSNR$, воспользовавшись формулой (1.6) и оценить энтропию H по формуле (1.7);
- j) по вычисленным значениям для неравномерного квантования построить графики $PSNR(R)$ и $PSNR(H)$.
- к) построить график ступенчатой функции $Q(x)$ по параметрам оптимального неравномерного квантования для каждого изображения. Число квантов определяет преподаватель;
- л) провести сравнительный анализ графиков, полученных с помощью неравномерного и равномерного скалярного квантования.

3. Создание палитры изображения с помощью методов векторного квантования:

- a) используя метод Линде-Бузо-Грея, составить палитру по данным компонент R , G и B исходного изображения в формате BMP24;
- b) сформировать выходное изображение в формате BMP8 с палитрой;
- с) оценить ошибку восстановления входного изображения. В качестве критерия эффективности необходимо использовать $PSNR$;
- d) проанализировать влияние округления на результат формирования палитры (точность аппроксимации, число итераций). На шаге 5 алгоритма Линде-Бузо-Грея значения векторов кодовой книги, соответствующей палитре, перестают быть целочисленными. Округление элементов палитры можно осуществлять в

процессе шага 5 (что приведет к увеличению ошибки квантования) или по окончании работы алгоритма. В задании требуется проанализировать насколько возрастет ошибка квантования для первого варианта.

3. Требования к оформлению отчета

Отчет должен содержать следующие пункты:

1. постановка задачи квантования дискретного сигнала;
2. описание изученных алгоритмов скалярного и векторного квантования;
3. описание реализации алгоритмов;
4. результаты (графики, численные расчеты) в соответствии с выполненными заданиями;
5. выводы по результатам сравнительного анализа различных методов квантования;
6. листинги программ.

4. Вопросы для самопроверки

1. Рассмотрим алгоритм Линде-Бузо-Грея для векторов длины 1. Что общего будет у алгоритма с методом Макса-Ллойда в этом случае и чем они будут различаться?

2. Пусть X распределено по нормальному закону $N(m, \sigma^2)$. Каковы будут границы квантов и аппроксимирующие значения, если при неравномерном квантовании используется два кванта?

3. Пусть двумерная случайная величина равномерно распределена внутри квадрата размером 2×2 . Каким образом будут выглядеть кодовые книги, состоящие соответственно из двух и четырех векторов?

4. Рассмотрим равномерное скалярное квантование выборки из равномерного распределения. Как изменится отношение сигнал-шум при увеличении числа квантов в два раза?

Библиографический список

1. *Красильников Н.Н.* Цифровая обработка изображений. М.: Вузовская книга, 2001.
2. *Сэлмон Д.* Сжатие данных, изображений и звука. М.: Техносфера, 2004.
3. *Кудряшов Б.Д.* Теория информации. СПб.: Питер, 2009.
4. *Шапиро Л., Стокман Дж.* Компьютерное зрение. М.: Бином, 2006.
5. *Гмурман В.Е.* Теория вероятностей и математическая статистика. М.: Высшая школа, 2003.
6. *Max J.* Quantizing for minimum distortion // *IEEE Transactions on Information Theory*. 1960. Vol. 6, № 1.
7. *Lloyd S.P.* Least squares quantization in PCM // *IEEE Transactions on Information Theory*. 1982. Vol. 28, № 2.
8. *Linde Y., Buzo A., Gray R.M.* An algorithm for vector quantizer design // *IEEE Transactions on Communications Technology*. 1980. Vol. 28, № 1.

СОДЕРЖАНИЕ

Введение	3
Исследование 1. Статистический анализ цифровых изображений	4
1. Теоретические основы исследования	4
1.1. Основные определения	4
1.2. Структура BMP-файла	5
1.3. Особенности представления данных в формате Windows BMP	7
1.4. Критерии эффективности обработки изображений . . .	7
1.5. Преобразование цветового пространства	10
2. Порядок выполнения исследования	11
3. Требования к оформлению отчета	14
4. Перечень индивидуальных заданий	15
5. Вопросы для самопроверки	17
Исследование 2. Квантование данных	18
1. Теоретические основы исследования	18
1.1. Классификация методов квантования	18
1.2. Критерии оценки эффективности квантования	19
1.3. Скалярное квантование	21
1.4. Векторное квантование. Алгоритм Линде-Бузо-Грея . .	31
1.5. Использование палитры в формате BMP	35
2. Порядок выполнения исследования	35
3. Требования к оформлению отчета	38
4. Вопросы для самопроверки	38
Библиографический список	39

Учебное издание

Гильмутдинов Марат Равилевич
Тюрликов Андрей Михайлович
Линский Евгений Михайлович

ЦИФРОВАЯ ОБРАБОТКА ИЗОБРАЖЕНИЙ
СТАТИСТИЧЕСКИЙ АНАЛИЗ И КВАНТОВАНИЕ ВИЗУАЛЬНЫХ ДАННЫХ

Учебное пособие

В авторской редакции

Подписано к печати __. __. __. Формат бумаги $60 \times 84 \frac{1}{16}$. Бумага
офсетная. Печать офсетная. Усл. печ. л. 2,2. Уч.-изд. л. 2,4. Тираж
300 экз.
Заказ №630

Редакционно-издательский центр ГУАП
190000, Санкт-Петербург, Б. Морская ул., 67